

## مطالعه‌ی آزمایشگاهی تأثیر استقرار آب شکن T شکل بر توپوگرافی پایین دست بستر قوس ۹۰ درجه\*

«یادداشت پژوهشی»

محمد واقفی<sup>(۱)</sup>

مسعود قدسیان<sup>(۲)</sup>

**چکیده** یکی از روش‌های متابول ساماندهی و کنترل فرسایش کناری رودخانه، استفاده از آب شکن می‌باشد. آب شکن با هدایت جریان به سمت محور رودخانه از ایجاد جریان قوی در طول ساحل، جلوگیری کرده و مانع از فرسایش ساحل رودخانه می‌شود. استقرار آب شکن در مسیر جریان، باعث ایجاد آب شستگی‌های موضعی در محل آب شکن و تغییرات توپوگرافی پایین دست قوس می‌گردد. در این مقاله به بررسی اثر آب شکن‌های T شکل مستقر در قوس ۹۰ درجه بر توپوگرافی بستر پرداخته شده است. آزمایشات مورد نظر در کanalی با قوس ۹۰ درجه و شرایط آب تمیز، طراحی و اجرا شد. در این آزمایشات، تأثیر پارامترهای طول آب شکن، موقعیت قرارگیری آب شکن در قوس و همچنین علاوه برود جریان بر تغییرات توپوگرافی بستر در پایین دست آب شکن، مورد بررسی قرار گرفته است. تایح تحقیق، نشان دهنده وجود دو چاله‌ی آب شستگی در طول قوس است که یک چاله در دماغه‌ی آب شکن و دیگری در پایین دست آب شکن، شکل می‌گیرد. نتایج، بیانگر این است که با افزایش طول آب شکن، ابعاد چاله‌ی آب شستگی اول افزایش و چاله‌ی آب شستگی دوم کاهش می‌یابد. با افزایش طول آب شکن فاصله‌ی چاله‌ی آب شستگی دوم از آب شکن افزایش می‌یابد. با تغییر موقعیت آب شکن به سمت پایین دست، قوس چاله‌ی آب شستگی بزرگتر می‌شود. همچنین معادلاتی جاید در محاسبه‌ی عمق آب شستگی مانگزیم و حجم چاله‌ی آب شستگی تدوین شده است.

**واژه‌های کلیدی** آب شکن T شکل، چاله‌ی آب شستگی، توپوگرافی قوس، آب شستگی بیشینه، چاله‌ی پایین دست

## An Experimental Study on the Effect of T Shape Spur Dike on Down Stream Topography in a 90 Degree Bend

M. Vaghefi

M. Ghodsian

**Abstract** One of the common methods of river training and bank protection is using spur dikes. Building spur dikes makes the flow path to be modified. Because of the concentration of flow in the middle part of the river it causes the river side not to be washed out. Setting spur dikes in the flow's direction leads to a local scour in the spur dike site and the change in the bed's topography of the bend down stream. this paper examines the effect bed's topography around the T shaped spur dike located in a 90 degree bend by conducting several tests. These tests were carried out in an experimental channel with a bend of 90 degrees and under conditions with clear water. These experiments, in fact, measured the effects of such parameters like the length of the spur dike, the location of the spur dike in the bend, the flow Froude number on the down stream bed topography. The results of investigation show that two scour hole forms due to a T shaped spur dike. One at the nose of spur dike and the other one at the downstream of the spur dike. By increasing the length of the spur dike, the dimensions of first scour hole increase. But the dimensions of second scour hole decrease. By increasing the length of the spur dike the distance of location of second scour hole from the spur dike increases. Any change in the position of the spur dike toward the down stream of the bend, increases the dimensions of scour hole. Also, New equations for maximum scour depth and scour volume at a T shaped spur dike are developed.

**Key Words** T Shape Spur Dike, Scour Hole, Bed Topography, Maximum Scour, Down Stream Hole.

\* نسخه‌ی اول مقاله در تاریخ ۸۷/۴/۳ و نسخه‌ی نهایی آن در تاریخ ۸۹/۵/۱۸ به دفتر نشریه رسیده است.

(۱) نویسنده‌ی مسئول، استادیار سازه‌های هیدرولیکی، گروه مهندسی عمران، دانشکده‌ی فنی و مهندسی، دانشگاه خلیج فارس

(۲) استاد هیدرولیک، پژوهشکده‌ی مهندسی آب، دانشگاه تربیت مدرس

وابستگی زیادی به شعاع انحنای قوس دارد و در مسیرهای قوسی، حدود یک تا دو برابر طول آب‌شکن خواهد بود. Tingaschnali و Maheswaran (۱۹۹۰) به اصلاح ضرایب مربوط در مدل عددی  $k-4$  به دلیل انحناء خطوط جریان در قوس و در اطراف آب‌شکن پرداختند و نتیجه گرفتند که این ضریب، تأثیر عمدتای بر میزان سرعت جریان دارد؛ در حالی که بر تنفس برشی مانگزیم در دماغه‌ی آب‌شکن، تأثیر قابل توجهی ندارد.

Mesbahi (۱۹۹۲) آزمایشات خود با آب‌شکن در قوس را به گونه‌ای تنظیم نمود که عرض جریان در جلوی آب‌شکن، نسبت به حالت بدون آب‌شکن تغییری ننماید و نتیجه گرفت که احداث آب‌شکن در قوس‌ها، عمق چاله‌ی آب‌شستگی را عمیق‌تر می‌کند.

Soliman و همکاران (۱۹۹۷) به بررسی آزمایشگاهی و عددی تأثیر آب‌شکن بر روی مورفولوژی قوس‌های رودخانه‌ی نیل پرداختند و یک مدل دو بعدی در خصوص تأثیر آب‌شکن‌ها و مؤلفه‌های سرعت ارائه نمودند.

Giri و همکاران (۲۰۰۴) به صورت آزمایشگاهی و عددی با اندازه گیری سرعت و تغییر دادن موقعیت آب‌شکن‌ها به تأثیر آن بر روی میدان جریان اطراف آب‌شکن بسته در کanal قوسی پرداخت.

Fazli و همکاران (۲۰۰۷) به بررسی آزمایشگاهی تأثیر موقعیت استقرار آب‌شکن‌های مستقیم در قوس ۹۰ درجه پرداختند. Forghani و همکاران (۲۰۰۷) به مطالعه‌ی آزمایشگاهی الگوی جریان و آب‌شستگی پیرامون آب‌شکن‌های مستقیم و مستقر در قوس ۹۰ درجه اقدام نمودند. مطالعات گذشته بیانگر فقدان تحقیقات کافی در مورد آب‌شکن‌های مستقر در قوس نیز در مورد آب‌شکن‌های T شکل مستقر در قوس نیز در تحقیقات گسترده‌ای توسط قدسیان و همکاران (۲۰۰۸) و اوقفی و همکاران (۲۰۰۹ و ۱۳۸۷ به بعد) در مورد الگوی آب‌شستگی و الگوی جریان اطراف آب‌شکن T شکل منفرد مستقر در قوس ۹۰ درجه انجام گرفته است.

## مقدمه

استفاده از آب‌شکن‌ها در ثبت سواحل رودخانه‌ها از جمله راههای مؤثر در پایداری ساحل می‌باشد، اما وجود آب‌شکن‌ها در مسیر جریان، باعث ایجاد آب‌شستگی موضعی می‌گردد. رسوبات خروجی از اطراف آب‌شکن می‌تواند تأثیر زیادی بر روی توپوگرافی بستر رودخانه‌ها، خصوصاً در پایین دست محل استقرار آب‌شکن داشته باشد. در مسیرهای قوسی نیز به دلیل وجود جریان‌های ثانویه و ترکیب آن با جریان‌های طولی، جریان‌های مارپیچی موسوم به جریان حلزونی، تشکیل می‌گردد. این جریانات، باعث فرسایش شدید ساحل خارجی، مخصوصاً در سواحل فرسایش پذیر می‌شود. استقرار آب‌شکن‌ها در ساحل خارجی رودخانه‌ها می‌تواند در کاهش فرسایش پذیری کناره‌ها مؤثر باشد. هنگامی که از آب‌شکن‌ها برای محافظت قوس خارجی رودخانه استفاده می‌شود، تحلیل جریان و آب‌شستگی بسیار پیچیده‌تر و مشکل‌تر می‌گردد. که علت آن، اندکیش بین الگوی جریان در قوس و الگوی جریان اطراف آب‌شکن و تأثیر جریان‌های حلزونی در قوس‌ها می‌باشد.

مطالعات گذشته، بیشتر در مورد آب‌شکن‌های مستقر در مسیرهای مستقیم بوده است و اکثرآ به بررسی تغییرات آب‌شستگی بیشنه و هندسه چاله‌ی آب‌شستگی پرداخته شده است. در مورد قوس‌ها و کاربرد آب‌شکن‌ها در مطالعات گذشته نیز توپوگرافی پایین دست قوس، در مطالعات گذشته نیز توپوگرافی پایین دست قوس، کم‌تر مدنظر محققان بوده است. اولین تحقیق در مورد به کارگیری آب‌شکن در قوس، توسط Ahmad (۱۹۵۱) و Fazli (۱۹۵۳) انجام گرفت. وی با تغییر پارامترهای دبی جریان، نسبت انقباض، شکل آب‌شکن با جریان و دانه بندی رسوبات در کanal مستقیم و قوسی، به بررسی عمق آب‌شستگی مانگزیم پرداخت. Gill (۱۹۷۲) با تغییر شعاع انحنای قوس عمق جریان و قطر ذرات در کanal مستقیم و قوسی نشان داد که فاصله‌ی بین آب‌شکن‌ها

جريان،  $R_c$ ; شعاع مرکزی قوس و  $g$ ; ستاپ نقل، تعریف شده است. با استفاده از تئوری باکینگهام، رابطه‌ی زیر برای بررسی اثرات متغیرهای مؤثر بر آب‌شستگی تعادل یافته حول آب‌شکن در قوس به دست می‌آید:

$$\frac{\phi}{Y} = f(\theta, Fr, \frac{L}{B}, \frac{R}{B}, \lambda, S_0, \alpha, \frac{d_{50}}{R_c}) \quad (2)$$

با توجه به این که در این تحقیق  $\alpha$ ,  $R/B$  و  $S_0$  مقادیر ثابتی دارند و همچنین قطر مصالح بستر ثابت در نظر گرفته شده است، از آن‌ها صرف نظر شده و از معادله‌ی (۲) حذف می‌شوند بنابراین:

$$\frac{\phi}{Y} = f(\theta, Fr, \frac{L}{B}) \quad (3)$$

که در آن  $Fr$ : عدد فرود جریان،  $\phi$ : معرف پارامترهای آب‌شستگی (شکل ۲-۲)،  $dsm$ : شامل حداکثر عمق آب‌شستگی در دماغه‌ی آب‌شکن،  $dss$ : حداکثر عمق آب‌شستگی در پایین دست آب‌شکن،  $h$ : ارتفاع بیشینه‌ی رسوبات در پایین دست آب‌شکن،  $S$ : فاصله‌ی مرکز چاله‌ی آب‌شستگی پایین دست آب‌شکن تا محل استقرار آب‌شکن،  $e$ : طول آب‌شستگی در ساحل خارجی پایین دست آب‌شکن و  $V$ : حجم چاله‌ی آب‌شستگی است. قابل ذکر است این در حالی است که  $V = \phi \cdot \text{حجم چاله‌ی آب‌شستگی}$  بدون بعد  $3/V^3$  می‌باشد.

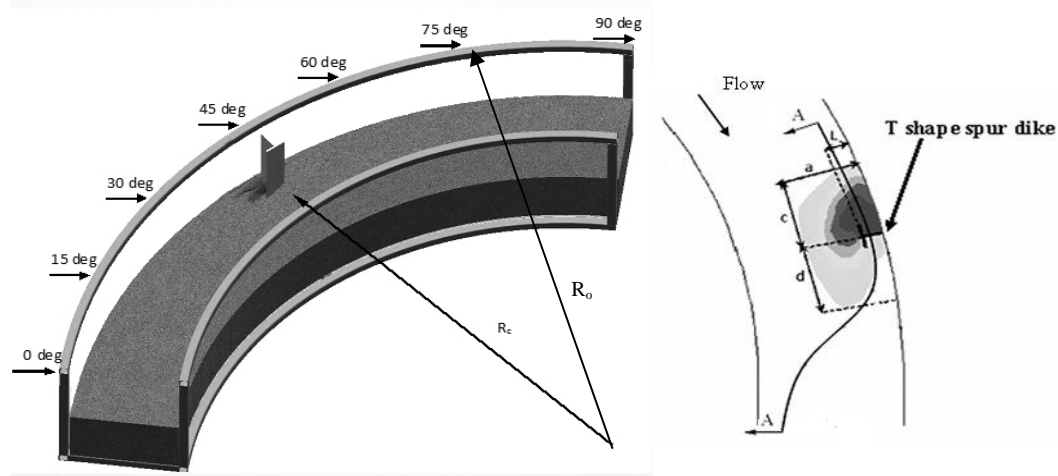
هدف از این مقاله، بررسی تأثیر آب‌شکن T شکل بر روی توپوگرافی قوس و تغییرات بستر کanal در پایین دست آب‌شکن و نیز مسیر مستقیم پایین دست آب‌شکن می‌باشد. برای این منظور به تأثیر تعدادی از پارامترهای اثرگذار نظیر طول آب‌شکن، عدد فرود جریان و موقعیت استقرار آب‌شکن پرداخته شده است.

### آنالیز ابعادی

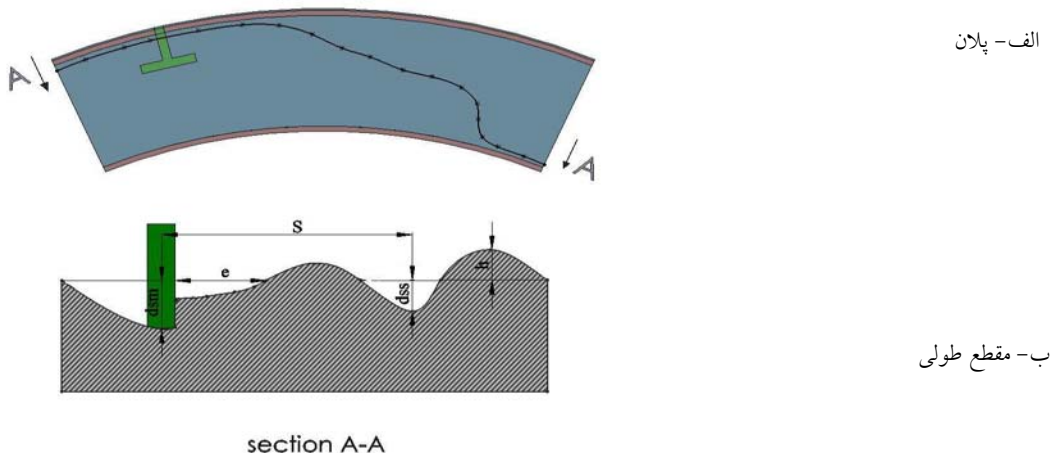
شکل (۱) مشخصات ابعاد چاله‌ی آب‌شستگی و موقعیت آب‌شکن و شعاع انحنای قوس به صورت شماتیک نشان داده شده است. همچنین در شکل (۲)، پلان و مقطع طولی توپوگرافی بستر ناشی از آب‌شکن T شکل و پارامترهای آن در طول قوس را نشان می‌دهد. پارامترهای مؤثر بر ابعاد چاله‌ی آب‌شستگی  $\phi$  در حالت تعادل در قوس با رابطه‌ی ذیل مشخص می‌گردد:

$$\phi = f(L, Y, \alpha, \theta, B, R, \lambda, S_0, g, d_0, R_c) \quad (1)$$

در رابطه‌ی بالا  $B$ : عرض مجراء،  $R$ : شعاع انحناء قوس،  $\lambda$ : زاویه مرکزی قوس،  $S_0$ : شیب طولی کف مجراء،  $L$ : طول آب‌شکن،  $\theta$ : زاویه‌ی موقعیت قرارگیری آب‌شکن در قوس،  $\alpha$ : زاویه‌ی استقرار محور آب‌شکن نسبت به جهت جریان اصلی،  $V$ : حجم چاله‌ی آب‌شستگی،  $d_0$ : قطر متوسط ذرات،  $Y$ : عمق



شکل ۱ نمایش شماتیک ابعاد چاله‌ی آب‌شستگی و شعاع انحنای قوس



شکل ۲ تغییرات توپوگرافی بستر اطراف آب شکن T شکل (الف) پلان و (ب) مقطع طولی

گرفته شد. به منظور تعیین اثر طول و موقعیت استقرار آب شکن بر تغییرات توپوگرافی بسترسری اول آزمایشات در چهار طول متفاوت آب شکن: ۱۰٪، ۱۵٪، ۲۰٪ و ۲۵٪ عرض کanal و چهار موقعیت متفاوت: ۳۰، ۴۵، ۶۰ و ۷۵ درجه در قوس خارجی، طراحی و اجراء گردید. سپس به منظور تعیین اثر عدد فرود جریان، آزمایشاتی با تغییر عدد فرود جریان: ۰/۲۳، ۰/۲۷، ۰/۳ و ۰/۳۴ و با آب شکن در موقعیت های استقرار متفاوت آب شکن در قوس اجرا گردید. نسبت طول بال آب شکن به طول آب شکن در کلیه آزمایشات، واحد می باشد. تعداد کل آزمایشات انجام شده ۳۸ آزمایش می باشد. دبی جریان در کلیه آزمایشات ثابت و برابر ۲۵ لیتر بر ثانیه می باشد. در تمام آزمایشات، شرایط آب تمیز حاکم بود. به منظور تعیین زمان تعادل، یک آزمایش ۱۲۰ ساعته برای آب شکن در موقعیت استقرار ۷۵ درجه و یک آزمایش ۸۰ ساعته برای آب شکن در موقعیت استقرار ۴۵ درجه، انجام گردید. زمان انجام هر آزمایش، مدت زمان معادل ۰/۸۸ عمق ماکریم آب شستگی در آزمایش زمان تعادل ۱۲۰ ساعته در نظر گرفته شد که برای هر آزمایش، ۲۴ ساعت می باشد. در این زمان، میزان آب شستگی در فواصل زمانی ۴ ساعته کمتر از ۲ میلی متر بوده است. زمان تعادل را نشان می دهد.

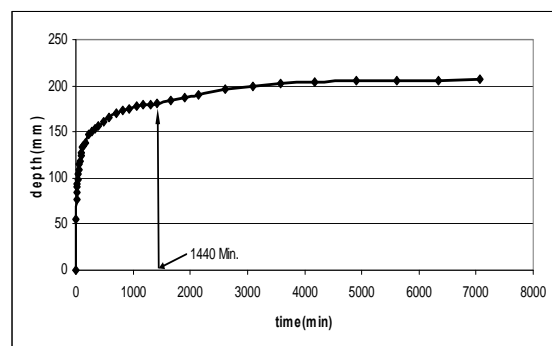
## آزمایشات

آزمایشات مورد نظر در کanalی با قوس ۹۰ درجه در آزمایشگاه هیدرولیک دانشگاه تربیت مدرس تهران انجام گرفت. این کanal از یک قسمت مستقیم به طول ۷/۱ متر در بالادست و همچنین قسمت مستقیمی به طول ۵/۲ متر در پایین دست تشکیل می شود که این دو مسیر مستقیم، توسط قوس ۹۰ درجه به شعاع انحنای خارجی ۲/۷ متر بهم متصل گردیده است. کanal از جنس شیشه ساخته شده است که توسط قاب های فولادی، پایداری آن حفظ می گردد. نسبت شعاع قوس به عرض کanal برابر ۴، ارتفاع آن ۷۰ سانتی متر و عرض آن ۶۰ سانتی متر است. کف کanal از رسوباتی با قطر متوسط ۱/۲۸ میلی متر و انحراف معیار ۱/۳ میلی متر پوشیده شده است. دبی جریان، به وسیله ی یک ارفیس کالیبره شده تنظیم گردید. همچنین عمق جریان و پروفیل بستر با استفاده از یک عمقد سنج الکترونیکی (point gage) با دقیقت ۰/۱ میلی متر، اندازه گیری شد. برای کنترل جریان از یک دریچه ی قطاعی که در انتهای کanal نصب گردیده، استفاده شد. آب شکن ها به صورت صفحات مستطیلی با پلان T شکل و از جنس پلکسی گلاس ساخته شد. ضخامت آب شکن ۱ سانتی متر و ارتفاع آن ۶۵ سانتی متر در نظر شکل (۳) تغییرات زمانی عمق آب شستگی در آزمایش

جريان به صورت تدریجی از کanal خارج و زهکشی کanal در مدت زمان ۲ تا ۳ ساعت انجام می‌گیرد. سپس برداشت پروفیل بستر انجام می‌شود.

### تحلیل نتایج

**مکانیزم تشکیل پشه رسویی و حرکت آنها در طول مسیر.** پیشروی و توسعه‌ی بار رسویی در پایین دست آب‌شکن‌ها و ابعاد هندسه‌ی آن، شاخصی برای ارزیابی کارکرد آب‌شکن‌ها در حفاظت دیواره‌ها و انتخاب فاصله‌ی بین آب‌شکن‌های متواالی می‌باشد. در ابتدای آزمایش، چاله‌ی آب‌شستگی در بالا دست آب‌شکن و در محدوده‌ی دماغه‌ی آب‌شکن تا جان آب‌شکن، شروع به تشکیل می‌شود. رسوبات خارج شده از چاله‌ی آب‌شستگی در ابتدا به صورت یک پشه رسویی بلا فاصله در پایین دست بال پایین دست آب‌شکن انباشته می‌ود. این رسوبات در اثر برخورد جریان ورودی از بالا دست به سمت ساحل خارجی متمایل می‌شوند. وجود این پشه رسویی به همراه اثر دیواره‌ی بال پایین دست، باعث حفاظت محدوده‌ی بین بال پایین دست آب‌شکن و جان آب‌شکن از آب‌شستگی می‌گردد.



شکل ۳ تغییرات زمانی عمق آب‌شستگی در آزمایش زمان تعادل

فوائل مقاطع اندازه‌گیری توپوگرافی بستر از ۰/۵ درجه تا ۵ درجه، متغیر می‌باشد که این مقدار در نزدیکی آب‌شکن تحت شبکه‌بندی ریزتر قرار دارد. تعداد مقاطع عرضی برداشت شده در هر آزمایش، بین ۳۵ تا ۴۵ مقطع، و تعداد مقاطع طولی بین ۲۸ تا ۳۰ مقطع بود. در ابتدای هر آزمایش با استفاده از یک ارابه‌ی متحرک، بستر کanal، تحت شیب ثابت مسطح می‌گردد، سپس جریان به آرامی وارد کanal می‌شود؛ طوری که تغییری در توپوگرافی بستر ایجاد نکند. پس از بالا آمدن سطح آب در کanal به صورت تدریجی، جریان به دبی مورد نظر افزایش می‌یابد. در انتهای آزمایش نیز با خاموش کردن پمپ،



شکل ۴ پروفیل ساحل داخلی کanal در پایان زمان تعادل آزمایش

در این شکل، عمق موضعی بستر می‌باشد. با افزایش طول آب‌شکن ناحیه‌ی سکون جریان در پایین دست آب‌شکن بیشتر می‌شود و محدوده‌ی بیشتری تحت حفاظت بال قرار می‌گیرد. در این محدوده، آب‌شکن از قدرت جریان ثانویه و در نتیجه جریان حلزونی می‌کاهد؛ بنابراین هر چه طول آب‌شکن بیشتر باشد، آب‌شستگی در این محدوده کمتر است. از مقایسه‌ی شکل (الف-۵) و (ب-۵) اختلاف تراز بستر بین بالا دست و پایین دست آب‌شکن مشهود می‌باشد. همچنین شکل (ب-۵) بیانگر اثر افزایش طول آب‌شکن در کاهش آب‌شستگی ساحل خارجی قوس می‌باشد. روشن است که افزایش طول آب‌شکن، تغییرات بیشتری را بر روی پروفیل عرضی بستر به همراه خواهد داشت. شکل (۶) نمونه‌ای از پروفیل‌های طولی بستر در فاصله‌ی ۵ میلی‌متر از دیواره‌ی خارجی کanal، در محل آب‌شستگی بیشینه از دیواره‌ی خارجی، در وسط کanal و در فاصله‌ی ۱۰ میلی‌متری از ساحل داخلی برای طول‌های مختلف آب‌شکن در موقعیت استقرار ۴۵ درجه و برای عدد فرود، ۰/۳۴ را نشان می‌دهد. در این شکل، فاصله از ابتدای قوس می‌باشد. همان‌طور که در این شکل مشخص است، در پایین دست آب‌شکن تا انتهای قوس، پشت‌های رسوی تشکیل شده که در پایین دست این پشت‌ها نیز چاله‌های آب‌شستگی ناشی از جریان عبوری از روی پشت‌ها به سمت بستر اصلی می‌باشد. شکل (ج-۶) نشان می‌دهد که چاله‌ی آب‌شستگی در پایین دست آب‌شکن تا وسط کanal گسترش یافته است و هرچه طول آب‌شکن بزرگ‌تر باشد، عمق چاله‌ی آب‌شستگی پایین دست، بیشتر است و همچنین رسوی‌گذاری در ساحل خارجی برای آب‌شکن‌های با طول بزرگ‌تر در شکل (د-۶) مشهود می‌باشد. اثر طول آب‌شکن بر روی پروفیل طولی بستر به خوبی در شکل (۶) نشان داده شده است. شکل (۷) نمونه‌ای از حداکثر عمق نسبی آب‌شستگی در دماغه‌ی آب‌شکن  $dsm/\sqrt{Y}$  و حجم نسبی چاله‌ی آب‌شستگی  $V/LB$  را برای آب‌شکن در موقعیت‌های مختلف نشان می‌دهد. این شکل، مربوط به عدد فرود جریان ۰/۳۴ است و نشان می‌دهد که با افزایش طول

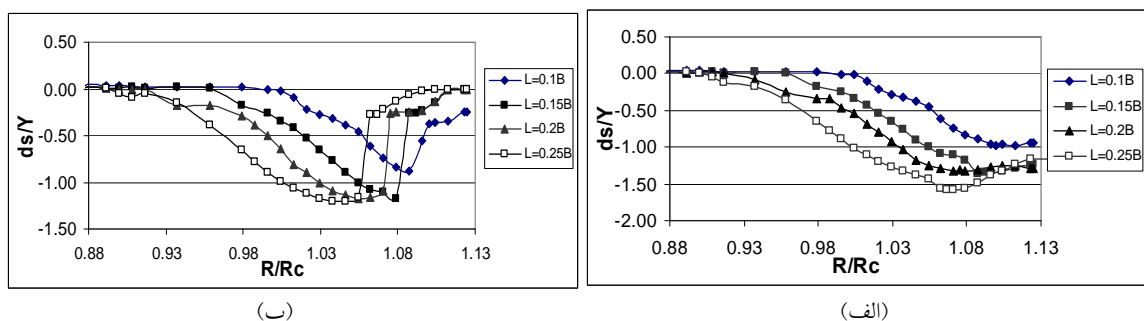
جریان عبوری از روی پشت‌های رسوی به بستر پایین دست آن برخورد کرده و اختلاف فشاری که بین این دو منطقه ایجاد می‌گردد، باعث ایجاد گردابه‌های قائم در پایین دست پشت‌های رسوی می‌شود که باعث آب‌شستگی بعد از پشت‌های رسوی می‌گردد. نتیجه‌ی آن، ایجاد چاله‌ی آب‌شستگی دیگری در پایین دست آب‌شکن می‌باشد. بدین ترتیب، دو چاله‌ی آب‌شستگی، یکی در محل آب‌شکن و دیگری در پایین دست آن ایجاد می‌شود. با گذشت زمان از شروع آزمایش و افزایش شبیه‌ی آب‌شستگی قدرت حمل رسویات از داخل چاله کم می‌شود و رسویات، به دلیل راحتی انتقال، متمایل به انتقال در مسیرهای با شبیه کمتر می‌گردند و بدین ترتیب، بار رسوی دیگری که به سمت ساحل داخلی کanal پیشروی دارد، شکل می‌گیرد و رسوی‌گذاری در انتهای آزمایشات در ساحل داخلی مشهود می‌باشد. در کلیه‌ی آزمایشات، چاله‌ی آب‌شستگی پایین دست آب‌شکن در نزدیکی ساحل خارجی تشکیل شد و در زمان تعادل، محل چاله به سمت وسط کanal متمایل گردید. همچنین تغییرات زمانی حرکت پشت‌های رسوی، بیانگر تغییر محل پشت‌های ابتدای آزمایش و تحت زاویه‌ی حدود ۳۰ درجه نسبت به چاله‌ی پایین دست و به سمت قوس داخلی کanal بود. در شکل (۴)، نمایی از پروفیل بستر در ساحل داخلی در انتهای آزمایش نشان داده شده است. محل آب‌شستگی بیشینه نیز در تمامی آزمایشات در فاصله‌ی حدود ۱۰ تا ۲۰٪ طول آب‌شکن از دماغه‌ی بال بالا دست و در کنار دیواره‌ی داخلی بال قرار دارد.

### اثر طول آب‌شکن بر توپوگرافی بستر

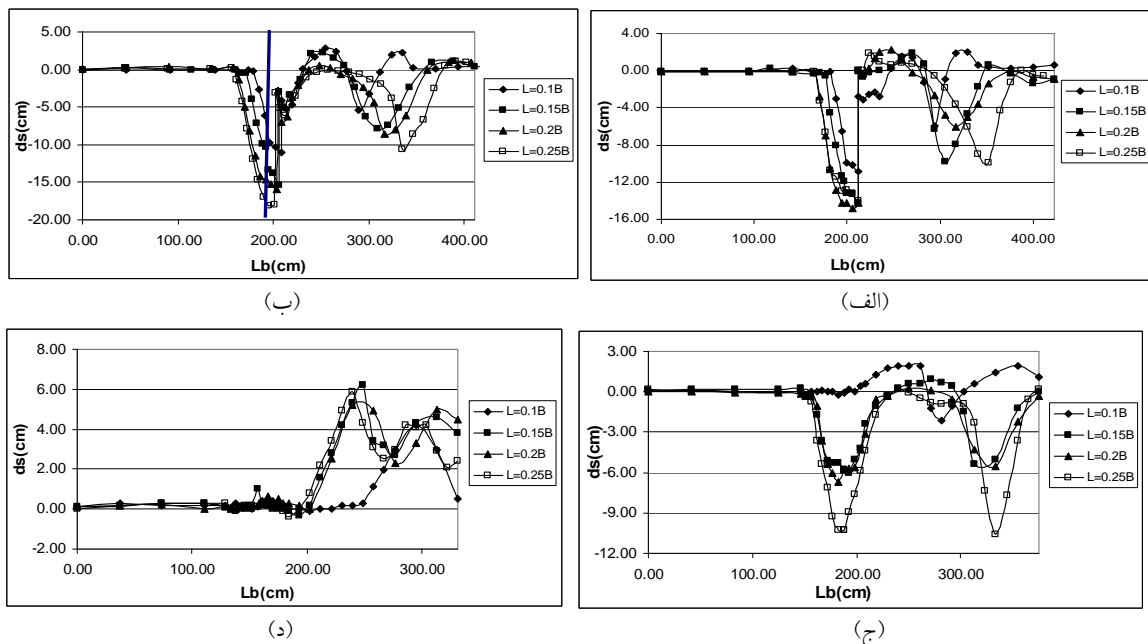
با افزایش طول آب‌شکن، تنگ شدگی مقطع جریان، افزایش می‌یابد. این امر باعث افزایش قدرت گردابه‌ها می‌شود و تنفس برشی در دماغه‌ی آب‌شکن و محدوده‌ی بین دیواره‌ی بال بالا دست آب‌شکن و جان آب‌شکن بیشتر و باعث افزایش آب‌شستگی می‌گردد. شکل (۵) نمونه‌ای از پروفیل عرضی بستر بالا دست و بلا فاصله در پایین دست آب‌شکن برای طول‌های مختلف و عدد فرود ۰/۳۴ را نشان داده است.

ابتدا روند افزایشی و سپس کاهشی دارد. تا زمانی که نسبت  $L/B$  کوچکتر از حدود  $0.2$  است، برای آب شکن در تمام موقعیت ها، روند افزایشی عمق آب شستگی حفره‌ی دوم وجود دارد؛ اما برای مقادیر بزرگتر یا مساوی حدود  $0.2$ ، عمق آب شستگی نسبی حفره‌ی دوم آب شستگی کاهش می‌یابد. در این شرایط به دلیل افزایش طول آب شکن، آب شستگی در دماغه‌ی آب شکن بیشتر خواهد بود و بخشی از رسوبات خارج شده از حفره‌ی اول وارد حفره‌ی دوم می‌شود.

آب شکن به دلیل آب شستگی موضعی بیشتر و افزایش قدرت حمل رسوبات، عمق بیشینه‌ی آب شستگی و حجم چاله‌ی آب شستگی بیشتر می‌شود.علاوه بر این، نتایج نشان داد که عمق آب شستگی بیشینه از  $1/2$  تا  $2/2$  برابر طول آب شکن متغیر می‌باشد. شکل (۸) نمونه‌ای از تغییرات عمق آب شستگی نسبی چاله‌ی دوم در پایین دست آب شکن،  $\frac{ds}{L}$  بر حسب  $L/B$  را در موقعیت های مختلف نشان می‌دهد. این شکل، نشان می‌دهد که با افزایش طول آب شکن، عمق آب شستگی حفره‌ی دوم،



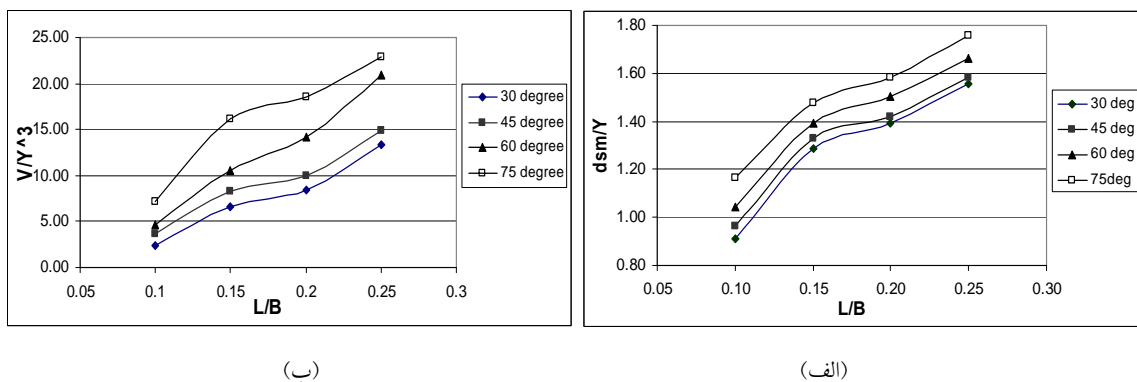
شکل ۵ مقاطع عرضی (الف) بالافصله در بالادست آب شکن و (ب) بالافصله در پایین دست آب شکن برای طول های مختلف آب شکن در موقعیت ۴۵ درجه



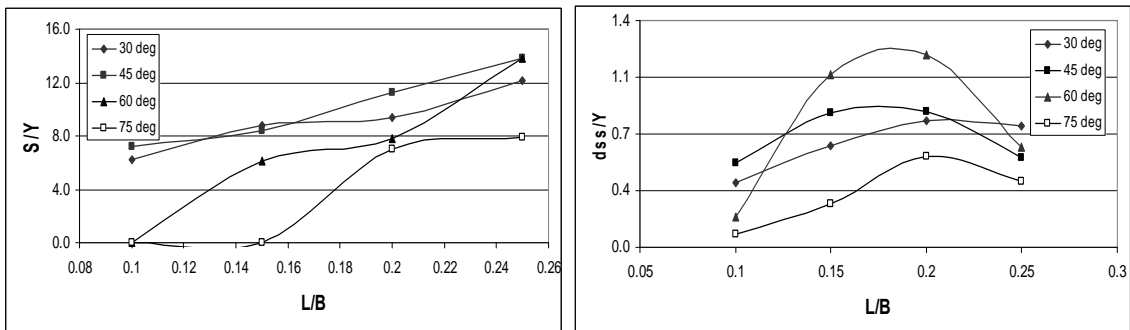
شکل ۶ پروفیل طولی بستر (الف) در فاصله‌ی ۵ میلی‌متر از دیواره‌ی خارجی و (ب) در محل آب شستگی بیشینه (ج) در وسط کانال (د) در فاصله‌ی ۱۰ میلی‌متر از دیواره‌ی داخلی برای طول های مختلف آب شکن و در موقعیت استقرار ۴۵ درجه

پیرامون آب‌شکن وارد چاله‌ی پایین دست شده و از تشکیل آن جلوگیری می‌کند. در موقعیت استقرار آب‌شکن در زاویه‌ی ۷۵ درجه، برای طول‌های معادل ۱۰ و ۱۵٪ عرض کanal، به دلیل ذکر شده، چاله‌ی آب‌شستگی پایین دست تشکیل نمی‌شود.

شکل (۹) بیانگر نسبت بدون بعد فاصله‌ی نسبی چاله‌ی دوم آب‌شستگی پایین دست تا محل استقرار آب‌شکن،  $\frac{L}{B}$  در برابر ۵٪ می‌باشد. همان‌طور که در شکل (۹) مشخص است، وقتی آب‌شکن در زاویه‌ی ۶۰ درجه‌ی قوس مستقر است، برای طول‌های معادل ۱۰٪ عرض کanal، رسوبات خروجی از چاله‌ی آب‌شستگی

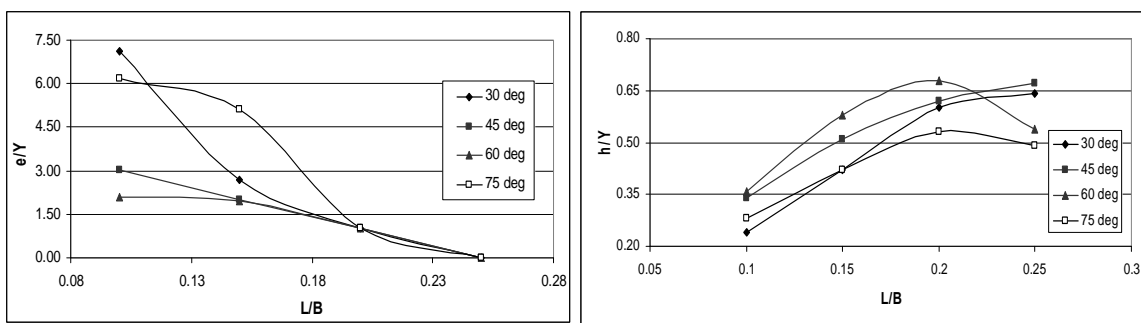


شکل ۷ (الف) عمق آب‌شستگی بیشینه و (ب) حجم چاله‌ی آب‌شستگی در برابر طول آب‌شکن در موقعیت‌های مختلف استقرار آب‌شکن



شکل ۹ تغییرات فاصله‌ی چاله‌ی آب‌شستگی پایین دست در برابر طول آب‌شکن

شکل ۸ تغییرات عمق چاله‌ی آب‌شستگی پایین دست در برابر طول آب‌شکن



شکل ۱۰ تغییرات ارتفاع رسوبات پایین دست در برابر طول آب‌شکن

شکل ۱۱ تغییرات آب‌شستگی در ساحل خارجی پایین دست در برابر طول آب‌شکن

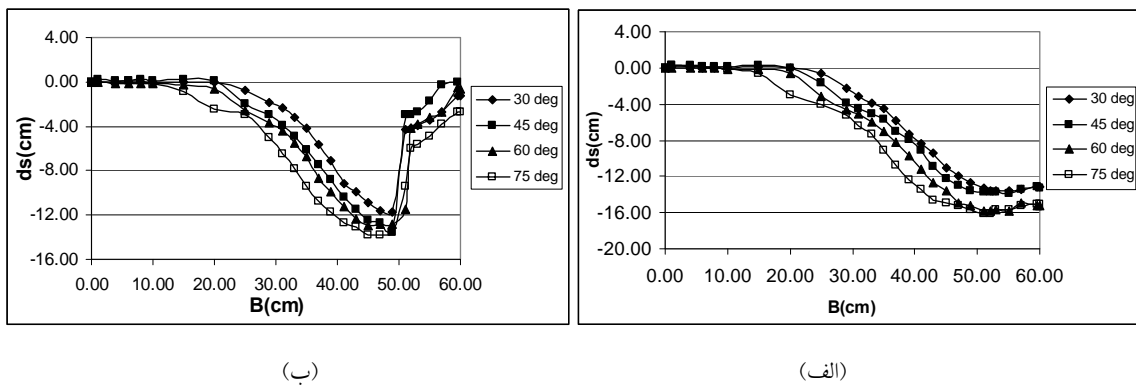
می باشد. همچنین در موقعیت استقرار آب شکن در زاویه‌ی ۴۵ و ۶۰ درجه، به دلیل حرکت رسوبات به سمت ساحل خارجی و ناشی از برخورد مستقیم جریان از مسیر بالا دست به رسوبات خروجی از چاله، پارامتر  $\psi$  از مقادیر کمتری برخوردار است. با در نظر گرفتن مواردی نظیر کاهش میزان آب شستگی بیشینه و ابعاد چاله‌ی آب شستگی، توجه به رسوب‌گذاری در ساحل خارجی و همچنین ارتفاع رسوبات و عمق چاله‌ی آب شستگی پایین دست، آب شکن T شکل با طول معادل ۱۵٪ عرض کanal در بین طول‌های انتخابی به عنوان طول مناسب، در نظر گرفته شده است.

**اثر موقعیت آب شکن بر توپوگرافی بستر**  
با تغییر موقعیت آب شکن در طول قوس (۳۰، ۴۵، ۶۰ و ۷۵ درجه از قوس خارجی) و درجه جریان میزان آب شستگی بیشینه و حجم چاله، آب شستگی افزایش می‌یابد. علت آن، افزایش تنش برشی و سرعت جریان با تغییر موقعیت آب شکن به سمت انتهای قوس می‌باشد. شکل (۱۲) نمونه‌ای از مقاطع عرضی در بالادست و بلا فاصله پایین دست آب شکن با طول آب شکن معادل ۱۵٪ عرض کanal و در موقعیت‌های استقرار مختلف و برای عدد فرود ۰/۳۴ را نشان می‌دهد. این شکل، نشان می‌دهد که در موقعیت استقرار آب شکن در زاویه‌ی ۳۰ و ۴۵ درجه، چاله‌ی آب شستگی کوچکتر است و همچنین در موقعیت ۴۵ درجه به دلیل ذکر شده، رسوبات به سمت ساحل خارجی حرکت کرده و آب شستگی در پایین دست آب شکن کمتر است. در موقعیت ۷۵ درجه نیز به دلیل افزایش سرعت جریان و در نتیجه تنش برشی، میزان آب شستگی افزایش می‌یابد.

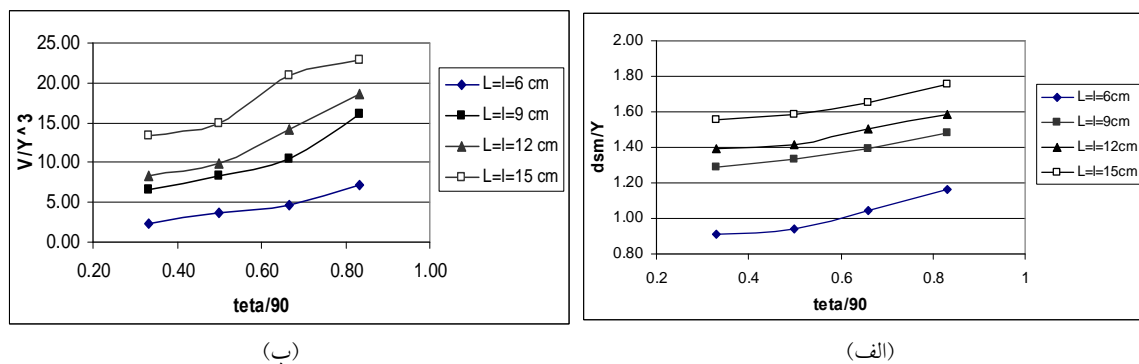
در شکل (۱۳) نمودار بدون بعد  $\frac{Y}{Y^3}$  و  $\frac{dsm}{dsm}$  در برابر افزایش زاویه‌ی استقرار آب شکن نشان داده شده است.

همچنین محدوده‌ی تغییرات فاصله‌ی چاله‌ی آب شستگی دوم تا محل آب شکن بین ۰ تا ۱۴ برابر طول آب شکن می‌باشد. شکل (۱۰) بیانگر تغییرات ارتفاع نسی رسوبات (بی بعد شده با عمق جریان) در پایین دست آب شکن،  $\frac{L}{B}$  بر حسب  $\frac{L}{B}$  و برای عدد فرود ۰/۳۴ می‌باشد. روشن است که برای آب شکن در موقعیت ۳۰ و ۴۵ درجه ارتفاع بیشینه پشتیه‌ی رسوبی، روند صعودی از خود نشان می‌دهند. اما وقتی آب شکن در موقعیت استقرار ۶۰ و ۷۵ درجه قرار گیرد، تا طول معادل ۲۰٪ عرض کanal روند صعودی دارد و سپس نزولی می‌شود. علت آن این است که در موقعیت‌های استقرار آب شکن در انتهای قوس و برای طول بزرگتر از ۲۰٪ عرض کanal، رسوبات سریع‌تر به سمت مسیر مستقیم پایین دست قوس حرکت کرده و شکل گیری آنها در عرض کanal از تقارن بیشتری برخوردار است؛ بنابراین، حرکت آنها در این مسیر از انباست و افزایش ارتفاع پشتیه‌ی رسوبی جلوگیری می‌کند. با توجه به نحوه‌ی حرکت رسوبات محدوده‌ی تغییرات، ارتفاع بیشینه‌ی رسوبات پایین دست، بین ۰/۴ تا ۰/۷ برابر طول آب شکن و محل پشتیه‌ی رسوبی بیشینه در پایین دست چاله‌ی آب شستگی دوم و در ساحل داخلی می‌باشد. شکل (۱۱) تغییرات نسبت بدون بعد طول آب شستگی (بی بعد شده با عمق جریان) در پایین دست آب شکن و در ساحل خارجی،  $\frac{L}{B}$  بر حسب  $\frac{L}{B}$  را در موقعیت‌های مختلف استقرار آب شکن و در عدد فرود ۰/۳۴ را نشان می‌دهد.

همانطور که مشخص است، در طول‌های بیشتر از ۲۰٪ عرض کanal، به علت حفاظت بال آب شکن از محدوده‌ی بیشتری بین بال پایین دست و ساحل خارجی، طول آب شستگی یکسان و در طول معادل ۲۵٪ عرض کanal صفر است. البته برای طول معادل ۱۰ درصد عرض کanal و در موقعیت ۳۰ درجه، این طول به ۱۴ برابر طول آب شکن می‌رسد. نتایج نشان دهنده‌ی تأثیر طول آب شکن در کاهش آب شستگی پایین دست آب شکن



شکل ۱۲ مقاطع عرضی (الف) بالاصله در بالادست آب‌شکن و (ب) بالاصله در پایین دست آب‌شکن در برابر موقعیت استقرار آب‌شکن در طول قوس برای طول جان آب‌شکن معادل ۱۵٪ عرض کanal



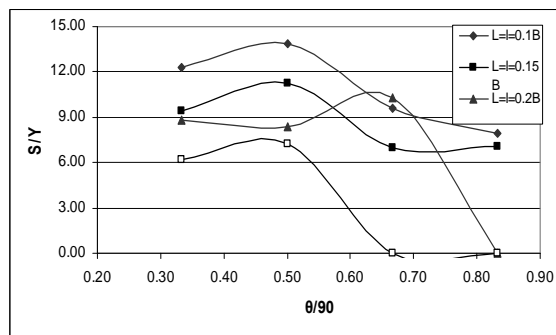
شکل ۱۳ (الف) عمق آب‌شستگی بیشینه و (ب) حجم چاله‌ی آب‌شستگی در برابر موقعیت استقرار مختلف آب‌شکن در طول قوس

برای طول های مختلف آب‌شکن نشان می‌دهد. همان‌طور که مشاهده می‌شود، عمق چاله‌ی آب‌شستگی پایین دست تا زاویه‌ی استقرار، ۶۰ درجه‌ی سعودی، ولی در موقعیت ۷۵ درجه‌ی نزولی است که علت آن اتصال جریان به مسیر مستقیم و حرکت رسوبات به سمت مسیر مستقیم می‌باشد و باعث می‌شود که رسوبات به صورت متقارن در طول کanal حرکت نماید. البته در مورد آب‌شکن با طول معادل ۱۰٪ عرض کanal، روند سعودی عمق چاله‌ی آب‌شستگی پایین دست تا زاویه‌ی ۴۵ درجه می‌باشد و در نیمه‌ی دوم قوس نزولی است. دلیل آن، کاهش طول آب‌شکن و در نتیجه کاهش ناحیه‌ی جداشدگی جریان و توزیع یکنواخت رسوبات در عرض کanal می‌باشد.

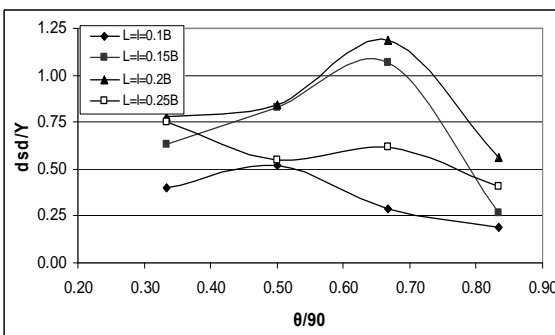
شکل (الف-۱۲) نشان می‌دهد که برای طول های معادل ۱۵، ۲۰ و ۲۵٪ عرض کanal و تا موقعیت ۶۰ درجه، روند تغییرات عمق بیشینه‌ی آب‌شستگی محسوس نیست؛ اما در موقعیت ۷۵ درجه به دلیل افزایش تنفس برشی، روند سعودی دارد.

این روند سعودی، برای طول معادل ۱۰٪ عرض کanal از موقعیت استقرار آب‌شکن در زاویه‌ی ۶۰ درجه شروع می‌شود. نتایج آزمایشات، نشان می‌دهد که دامنه‌ی تغییرات عمق بیشینه‌ی چاله‌ی آب‌شستگی بین ۱/۲ تا ۲/۲ برابر طول آب‌شکن است. شکل (ب-۱۵) نیز بیانگر روند افزایشی حجم حفره‌ی آب‌شستگی با تغییر موقعیت آب‌شکن به سمت پایین دست قوس می‌باشد.

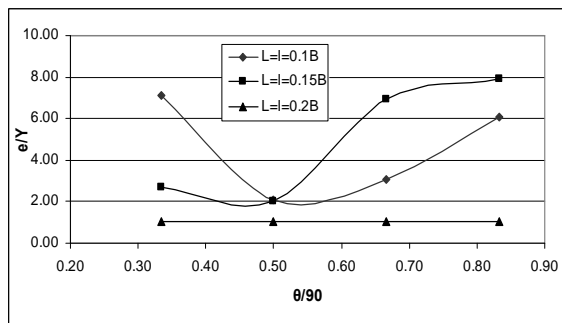
شکل (۱۴) تغییرات  $\frac{dsd}{\Delta \theta}$  را بر حسب % را



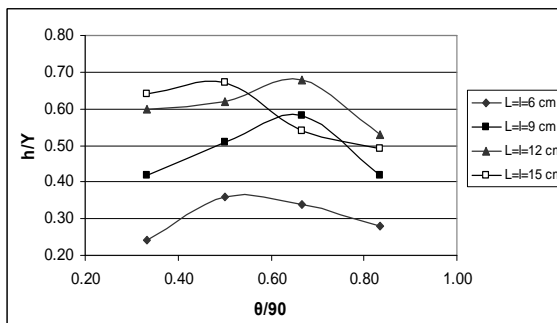
شکل ۱۵ تغییرات فاصله‌ی چاله‌ی آب‌شستگی پایین دست آب‌شکن در برابر موقعیت استقرار آب‌شکن در ساحل خارجی



شکل ۱۴ تغییرات عمق چاله‌ی آب‌شستگی پایین دست آب‌شکن در برابر موقعیت استقرار آب‌شکن در ساحل خارجی



شکل ۱۷ تغییرات طول آب‌شستگی در ساحل خارجی پایین دست آب‌شکن در برابر موقعیت استقرار آب‌شکن در ساحل خارجی



شکل ۱۶ تغییرات ارتفاع رسویات پایین دست آب‌شکن در برابر موقعیت استقرار آب‌شکن در ساحل خارجی

رسویات در عرض کanal و در مسیر مستقیم، ارتفاع پشتیه رسویی کاهش می‌یابد.

شکل (۱۷) نیز تغییرات  $\% \Delta H$  را بر حسب  $90^\circ$  نشان می‌هد و بیانگر یکنواخت‌تر شدن توپوگرافی بستر در موقعیت‌های استقرار آب‌شکن در نیمه‌ی دوم قوس می‌باشد. طول آب‌شستگی در ساحل خارجی پایین دست آب‌شکن تا وسط قوس و برای طول های تا  $15\%$  عرض کanal به علت برخورد جریان از مسیر مستقیم بالا دست قوس و جلوگیری از حرکت رسویات به سمت پایین دست نزولی است؛ اما در نیمه‌ی دوم قوس، به دلیل تشدید آب‌شستگی در پایین دست آب‌شکن به دلیل تنش برشی، بیشتر صعودی است. لازم به ذکر است که برای طول معادل  $20\%$  عرض کanal، به دلیل ایجاد حفاظت بال

شکل (۱۵) تغییرات  $\% \Delta S$  را در برابر  $90^\circ$  نشان می‌دهد. همان‌طور که در شکل مشخص است، چاله‌ی آب‌شستگی پایین دست، برای طول معادل  $20\%$  عرض کanal و در زاویه‌ی استقرار  $60^\circ$  درجه دارای عمق ناچیز می‌باشد که این روند برای طول معادل  $25\%$  عرض کanal در زاویه‌ی استقرار  $60^\circ$  و  $75^\circ$  درجه محسوس می‌باشد.

شکل (۱۶) تغییرات ارتفاع رسویات پایین دست آب‌شکن در برابر موقعیت استقرار آب‌شکن در ساحل خارجی را نشان می‌دهد.

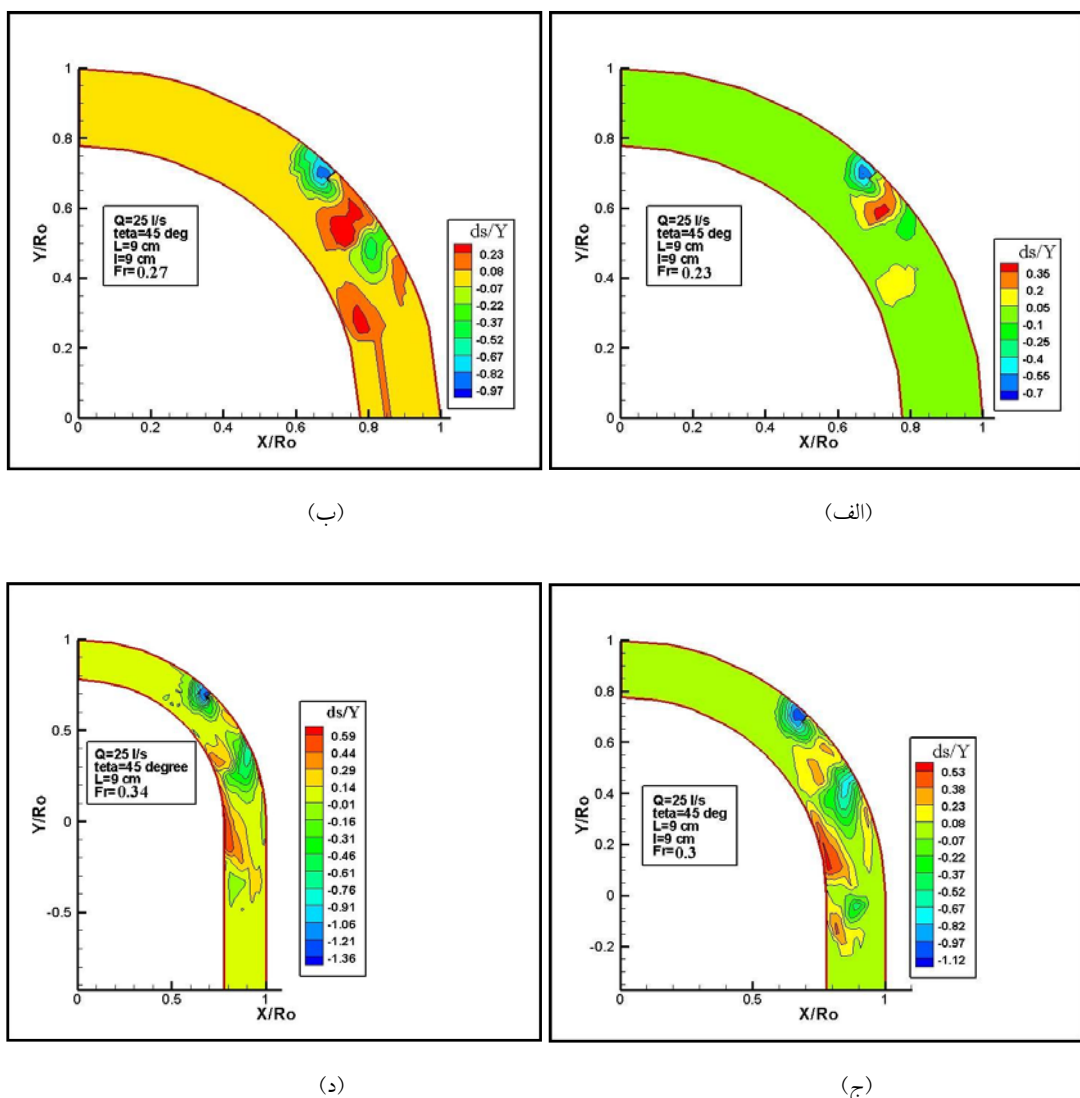
با تغییر موقعیت استقرار آب‌شکن به سمت پایین دست قوس و تا زاویه‌ی حدود  $60^\circ$  درجه ارتفاع رسویات در پایین دست آب‌شکن، روند صعودی دارد؛ ولی در زاویه‌ی حدود  $75^\circ$  درجه به علت حرکت متقارن‌تر

(۱۸) حجم چاله‌ی ایجاد شده نیز کوچکتر شود. شکل (۱۸) برای نمونه‌ی توپوگرافی بدون بعد شده‌ی بستر با عمق جریان را برای آب شکن در موقعیت ۴۵ درجه و اعداد فرود ۰.۲۳٪، ۰.۲۷٪، ۰.۳۴٪ و آب شکن با طول ۱۵٪ عرض کanal نشان می‌دهد. در این شکل،  $R_o$ : شعاع خارجی قوس می‌باشد. با افزایش عدد فرود، پشتیهی رسوبی به سمت ساحل داخلی قوس حرکت کرده و ارتفاع بیشینه‌ی رسوبات در ساحل داخلی قوس ایجاد می‌گردد.

آب شکن، آب شستگی ثابت و در طول معادل ۰.۲۵٪ عرض کanal طول آب شستگی پایین دست آب شکن ناچیز است و به همین دلیل در شکل (۱۷) رسم نشده است.

### اثر عدد فرود جریان بر توپوگرافی بستر

با کاهش عدد فرود، عمق جریان افزایش و سرعت جریان کاهش می‌یابد. با کم شدن سرعت جریان، میزان تنفس برشی کمتر می‌شود و از میزان آب شستگی در دماغه‌ی بالادرست آب شکن کاسته می‌شود و باعث می‌گردد که

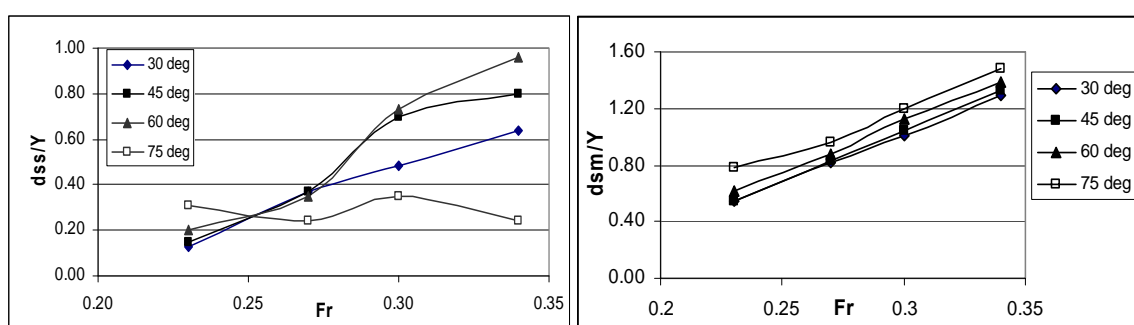


شکل ۱۸ توپوگرافی بدون بعد بستر (الف)  $Fr = 0.23$  (ب)  $Fr = 0.27$  (ج)  $Fr = 0.34$  (د)  $Fr = 0.3$  در موقعیت استقرار ۴۵ درجه

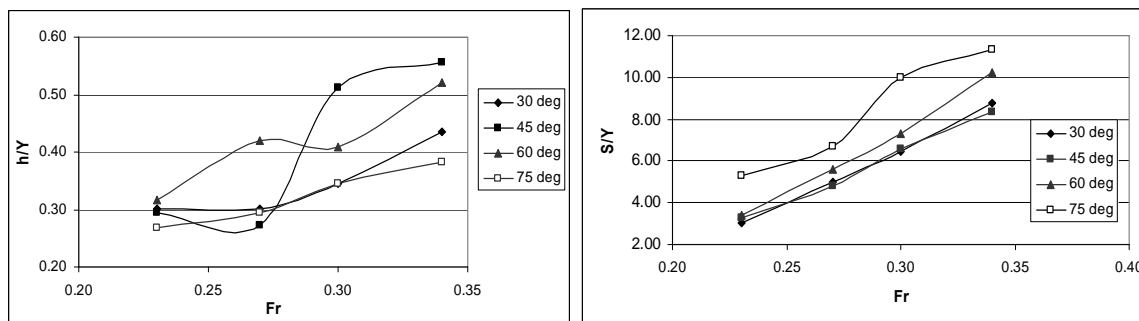
بیشتر، عدد فرود اثر موقعیت آب شکن قابل توجه است. علاوه بر این، نتایج نشان داد که محدوده‌ی تغییرات عمق چاله‌ی آب شستگی پایین دست در اعداد فرود مختلف بین  $0/2$  تا  $1/2$  برابر طول آب شکن است.

شکل (۲۱) نشان می‌دهد که با افزایش عدد فرود، جریان فاصله‌ی چاله‌ی آب شستگی پایین دست از محل استقرار آب شکن بیشتر می‌شود و برای موقعیت‌های  $30^\circ$  و  $45^\circ$  درجه، تغییر قابل ملاحظه‌ای در فاصله‌ی چاله‌ی آب شستگی پایین دست از آب شکن دیده نمی‌شود؛ در حالی که در نیمه‌ی دوم قوس و در زوایای  $60^\circ$  و  $75^\circ$  درجه، تغییرات مشهود است. همچنین محدوده‌ی تغییرات پارامتر  $S$  نیز بین  $2/5$  تا  $14$  برابر طول آب شکن در اعداد فرود مختلف، متغیر می‌باشد. شکل (۲۲) تغییرات عدد فرود جریان در برابر ارتفاع رسوبات بی بعد شده‌ی پایین دست را نشان می‌دهد. به علت برخورد جریان از مسیر مستقیم و تمايل حرکت رسوبات به سمت ساحل خارجی و سرعت کمتر حرکت رسوبات در زوایای  $45^\circ$  و  $60^\circ$  درجه، ارتفاع رسوبات کمتر می‌باشد. با توجه به حرکت سریع تر رسوبات در مسیر مستقیم بالا دست، ارتفاع پشتنه‌ی رسوبات در زاویه‌ی  $75^\circ$  درجه، کمتر خواهد بود. در اعداد فرود کوچکتر از حدود  $0/25$  تغییرات  $h$  کمتر است و با افزایش عدد فرود، اثر موقعیت آب شکن بر روی  $h$  بیشتر است. محدوده‌ی تغییرات پارامتر  $h$  نیز برای اعداد فرود مختلف، بین  $0/5$  تا  $0/7$  برابر طول آب شکن است.

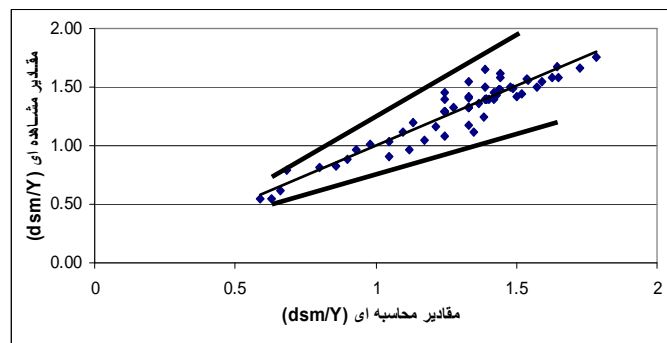
شکل (۱۹) تغییرات عمق نسبی آب شستگی بیشینه در برابر اعداد فرود مختلف را نشان می‌دهد و بیانگر افزایش عمق آب شستگی در اثر افزایش عدد فرود و در موقعیت‌های مختلف استقرار آب شکن می‌باشد. رسوبات خروجی از چاله‌ی آب شستگی تشکیل یک پشتنه‌ی رسوبی در پایین دست آب شکن را می‌دهد. حرکت این پشتنه‌ی رسوبی به مقدار عدد فرود بستگی دارد و در اعداد فرود کمتر، به علت این‌که قدرت حمل مصالح کاهش می‌یابد، حرکت این پشتنه‌ی رسوبی به سمت پایین دست کندتر می‌باشد. در پایین دست پشتنه‌ی رسوبی نیز به دلیل ایجاد جریان عبوری از روی رسوبات ته نشین شده و ایجاد گردابه‌های قائم در پایین دست پشتنه‌ی رسوبی، چاله‌ی آب شستگی دوم در پایین دست تشکیل می‌گردد. با افزایش عدد فرود و در موقعیت  $30^\circ$  درجه، مقداری از رسوبات خروجی از چاله‌ی آب شستگی پیرامون آب شکن توسط جریان، وارد چاله‌ی پایین دست شده و به همین دلیل، عمق این چاله نسبت به موقعیت استقرار آب شکن در زوایای  $45^\circ$  و  $60^\circ$  درجه کمتر است. این امر در زاویه‌ی  $75^\circ$  درجه به دلیل مسیر مستقیم بعد از قوس، محسوس تر می‌باشد. شکل (۲۰) تغییرات عمق چاله‌ی آب شستگی بی بعد شده‌ی پایین دست آب شکن در برابر عدد فرود جریان را نشان می‌دهد. این شکل، نشان می‌دهد که در اعداد فرود کمتر از حدود  $0/27$  موقعیت آب شکن اثر زیادی بر روی عمق حفره‌ی آب شستگی پایین دست ندارد؛ در حالی که برای مقادیر



شکل ۱۹ تغییرات عمق آب شستگی بیشینه در برابر عدد فرود



شکل ۲۲ تغییرات فاصله‌ی چاله‌ی آب‌شستگی پایین دست در برابر عدد فرود



شکل ۲۳ مقایسه‌ی بین مقادیر محاسبه‌ای و مشاهده‌ای عمق آب‌شستگی بیشینه نسبت به عمق جریان

دقت قابل قبول معادله (۵) می‌باشد. به روش مشابه معادله‌ی زیر با ضریب همبستگی ۰/۸۵ جهت تعیین حجم چاله‌ی آب‌شستگی V به دست آمد. همچنین خطای بین مقادیر مشاهده‌ای و مقادیر محاسبه‌ای در مورد عمق آب‌شستگی و حجم چاله‌ی آب‌شستگی در پایان زمان تعادل به روش کمترین مربعات، به ترتیب ۸/۵ و ۲۴٪ شد:

$$\frac{V}{Y^3} = 25.7 \left( \frac{L}{B} \right) \left( \frac{\theta}{90} \right)^{0.91} (3.75 Fr)^{6.44} \quad (6)$$

### نتیجه گیری

در این تحقیق، آزمایشات برای تعیین تغییرات توپوگرافی بستر در پایین دست و اطراف آب‌شکن T شکل مستقر در قوس ۹۰ درجه با رویکرد به مطالعه‌ی کیفی الگوی جریان، انجام گرفته است. پارامترهای مؤثر در این تحقیق، تغییرات طول آب‌شکن، موقعیت استقرار آب‌شکن در قوس و عدد فرود جریان بوده است. نتایج این تحقیق، نشان می‌دهد که:

روابط کلی در محاسبه‌ی ابعاد چاله‌ی آب‌شستگی معادله‌ی کلی عمق آب‌شستگی بیشینه در زمان تعادل را با توجه به معادله (۳) در حالت کلی می‌توان به شکل زیر نوشت:

$$\frac{dsm}{Y} = a \left( \frac{L}{B} \right)^b \left( \frac{\theta}{90} \right)^c (Fr)^d \quad (4)$$

حال با توجه به داده‌های آزمایشگاهی، مقادیر تجربی a, b, c و d بر اساس روش کمترین مربعات محاسبه گردید و نهایتاً معادله (۴) پس از ساده سازی به صورت زیر تبدیل شد:

$$\frac{dsm}{Y} = 25.7 \left( \frac{L}{B} \right)^{0.42} \left( \frac{\theta}{90} \right)^{0.16} (Fr)^{1.9} \quad (5)$$

مقدار ضریب همبستگی ( $R^2$ ) معادله‌ی بالا برابر ۰/۸۸ می‌باشد.

شکل (۲۳)، مقایسه‌ی بین مقادیر محاسبه شده با استفاده از معادله (۵) و مقادیر اندازه‌گیری شده‌ی عمق بیشینه‌ی آب‌شستگی نسبی را نشان می‌دهد که بیانگر

دست آب شکن، روند صعودی دارد؛ ولی در زاویه‌ی ۷۵ درجه کاهش می‌یابد.

- طول آب شستگی در ساحل خارجی پایین دست آب شکن تا وسط قوس و برای طول های تا ۱۵٪ عرض کanal، نزولی است؛ اما در نیمه‌ی دوم قوس، صعودی است. لازم به ذکر است که برای طول معادل ۲۰٪ عرض کanal آب شستگی ثابت و در طول معادل ۲۵٪ عرض کanal، طول آب شستگی پایین دست آب شکن ناچیز است.

- با افزایش عدد فرود، جریان ارتفاع رسوبات پایین دست آب شکن افزایش می‌یابد و برای اعداد فرود مختلف، تغییرات آن بین ۰/۵ تا ۰/۷ برابر طول آب شکن می‌باشد.

- در اعداد فرود مختلف، عمق چاله‌ی آب شستگی پایین دست در موقعیت های استقرار آب شکن در زاویه‌ی ۳۰ و ۴۵ درجه بیشتر و در زاویه‌ی ۷۵ درجه کمترین مقدار را داراست و دامنه تغییرات آن بین ۰/۲ تا ۱/۲ برابر طول آب شکن است.

- با افزایش عدد فرود، جریان فاصله‌ی چاله‌ی آب شستگی پایین دست از محل استقرار آب شکن بیشتر می‌شود که این مسئله در موقعیت ۷۵ درجه مشهودتر است. دامنه تغییرات این پارامتر بین ۲/۵ تا ۱۴ برابر طول آب شکن است.

- با تغییر موقعیت استقرار آب شکن به سمت پایین دست قوس، آب شستگی بیشینه و ابعاد چاله‌ی آب شستگی بیشتر می‌شود. همچنین طول آب شستگی پایین دست آب شکن، گسترش پیدا می‌کند.

- معادلاتی مناسب، جهت تعیین عمق آب شستگی بیشینه و حجم چاله‌ی آب شستگی، حول آب شکن T شکل با توجه به پارامترهای ذکر شده ارائه گردیده است.

- رسوب‌گذاری در ساحل خارجی پایین دست آب شکن برای آب شکن های با طول بزرگتر مشهود می‌باشد.

- با افزایش طول آب شکن، آب شستگی موضعی بیشتر و افزایش قدرت حمل رسوبات، عمق بیشینه آب شستگی و حجم چاله‌ی آب شستگی بیشتر می‌شود و محدوده تغییرات عمق آب شستگی بیشینه بین ۱/۲ تا ۲/۲ برابر طول آب شکن است.

- چاله‌ی آب شستگی ایجاد شده در پایین دست آب شکن در موقعیت استقرار، ۷۵ درجه از عمق، کمتر و فاصله‌ی بیشتری نسبت به محل آب شکن برخوردار است.

- با افزایش طول آب شکن، فاصله‌ی چاله‌ی آب شستگی پایین دست از محل استقرار آب شکن بیشتر می‌شود و محدوده تغییرات آن بین ۰ تا ۱/۴ برابر طول آب شکن است.

- در موقعیت استقرار آب شکن در ۳۰ و ۴۵ درجه، ارتفاع بیشینه‌ی پشتی رسوبی، روند صعودی از خود نشان می‌دهند؛ اما وقتی آب شکن در موقعیت استقرار ۶۰ و ۷۵ درجه قرار می‌گیرد، تا طول معادل ۲۰٪ عرض کanal روند صعودی و سپس نزولی دارد و محدوده تغییرات آن بین ۰/۴ تا ۰/۷ برابر طول آب شکن است.

- برای آب شکن با طول های ۲۰ و ۲۵٪ عرض کanal، طول آب شستگی در پایین دست آب شکن و در ساحل خارجی آب شکن صفر است، ولی دامنه تغییرات طول آب شستگی پایین دست، بین ۰ تا ۱۴ برابر طول آب شکن است.

- چاله‌ی آب شستگی پایین دست برای آب شکن های با ابعاد بزرگتر از ۲۰٪ عرض کanal و مستقر در زاویه‌ی ۶۰ درجه به بعد تشکیل نمی‌گردد.

- با تغییر موقعیت استقرار آب شکن به سمت پایین دست قوس و تا زاویه‌ی ۶۰ درجه ارتفاع رسوبات در پایین

## مراجع

1. Berge, M. A. "Flow Processes in a Curved Alluvial Channel" phd. Thesis in Iowa University, USA, 365p. (1990).

2. Blanckaert K. and Graf, W.H. "Mean Flow and Turbulence in Open-Channel Bend" *Journal of Hydraulic Engineering*, Vol. 127, No. 10. PP, 126-138. (2001).
3. Barbhuiya, A.K. and Dey, S. "Turbulent Flow Measurement by the ADV in the Vicinity of a Rectangular Cross-Section Cylinder Placed at a Channel Side Wall" *Flow Measurement and Instrumentation*. Vol. 15, No.4, PP. 221–237. (2004).
4. Dey, S. and Barbhuiya, A.K. "Turbulent Flow Field in a Scour Hole at a Semi Circular Abutment" *Canadian Journal of Civil Engineering*. Vol. 32, No.1, P. 213–232. (2005).
5. Dey, .S an" Flow Measurement and Instrumentation. Vol.17, PP. 13-21. (2006).
6. Lian H. C. and Hsied T.Y and Yang J. C. "Bend-Flow Simulation Using 2d Depth – Averaged Mode" *Journal of Hydraulic Engineering*, Vol. 125, No. 10. (1999).
7. Marion, A. and Zaramella, M. "Effects of Velocity Gradients and Secondary Flow on the Dispersion of Solutes in a Meandering Channel" *Journal of Hydraulic Engineering*. Vol, 132. PP, 1295-1302. (2006).
8. Nouh, M. A. and Townsend, R. D. "Shear-Stress Distribution in Stable Channel Bends" *Journal of Hydraulic Division*, Vol. 105, No. HY.10. (1979).
9. Rodi, W. and Michael, A.Leschziner. "Calculation of Strongly Curved Open Channel Flow" *Journal of the Hydraulic Division*, Vol. 105, No. HY10. (1978).
10. Shukry, A. "Flow around Bends in an open flume" Transactions, ASCE, Vol. 115. (1950).
11. Tang, XL., Chen, ZC., and Yang, F. "Dynamic Large Eddy Simulation of Secondary Flow Near a Groyne" *International Journal of Nonlinear Sciences and Numerical simulation*, Vol.7, No.3, 257-262.(2006).
12. Yang, S. Q. "Interactions of Boundary Shear Stress, Secondary Currents and Velocity" *Fluid Dynamics Research*, Vol.36, PP, 121-136. (2005).
13. Ghodsian, M. and Vaghefi, M. "Experimental Study on Scour and Flow Field in a Scour Hole Around a T Shaped Spur Dike in a 90° Bend" *International Journal of Sediment Research*, Vol. 24, No. 2, PP. 145-158.(2009).
14. Vaghefi M. and Ghodsian M., Salehi Neyshaboori S. A. A. "Experimental Study on the Effect of a T-Shaped Spur Dike Length on Scour in a 90° Cannel Bend" *Arabian Journal Of Science and Technology*, Vol. 34, No. 2B, PP. 337-348.(2009).
۱۵. محمد واقفی، مسعود قدسیان، سیدعلی اکبر صالحی نیشابوری " مطالعه‌ی آزمایشگاهی الگوی آب‌شکن T شکل منفرد مستقر در قوس ۹۰ درجه" مجله علمی و پژوهشی منابع آب ایران، سال چهارم، شماره ۳، ۵۷-۴۱. (۱۳۸۷).
۱۶. محمد واقفی، مسعود قدسیان، سیدعلی اکبر صالحی نیشابوری. "بررسی آزمایشگاهی الگوی جریان کمی اطراف آب‌شکن T شکل در قوس ۹۰ درجه با بستر صلب" مجله علمی و پژوهشی دانشگاه تبریز، جلد ۳۷، شماره ۳، ۸۱-۷۵. (۱۳۸۷).
۱۷. محمد واقفی، مسعود قدسیان ، سیدعلی اکبر صالحی نیشابوری. "بررسی آزمایشگاهی اثر شعاع انحنای و موقعیت استقرار آب‌شکن T شکل منفرد در قوس ۹۰ درجه بر میزان آب‌شستگی اطراف آنها" مجله علمی و پژوهشی هیدرولیک ایران، دوره چهارم، شماره ۱، ۹۱-۱۰۷. (۱۳۸۸).
۱۸. محمد واقفی، مسعود قدسیان ، سیدعلی اکبر صالحی نیشابوری. "مطالعه آزمایشگاهی الگوی جریان سه بعدی و آب‌شستگی درقوس ۹۰ درجه" مجله علمی و پژوهشی هیدرولیک ایران، دوره سوم، شماره ۳، ۴۱-۵۷. (۱۳۸۷).